

ский Э. Д., Фирсов О. Б., Теория искры, М., 1975; Райзен Ю. П., Физика газового разряда, М., 1987.

ПРОБОЙ ДИЭЛЕКТРИКОВ — см. в ст. Диэлектрики.
ПРОБОЙ МАГНИТНЫЙ а) метод азимутального квантового туннелирования электронов проводимости в магнитном поле H через классически запрещенные области импульсного пространства в местах сближения электронных орбит. При этом переход электронов происходит между траекториями, соответствующими энергии, равной или близкой к энергии Ферми ϵ_F и одинаковым значениям проекции p_H квазимпульса p на H , но при нахождении разными зонам. Предсказан М. Х. Коэном (M. H. Cohen) и Л. М. Фаликовым (L. M. Falicov, 1961), экспериментально обнаружен М. Г. Пристли (M. G. Priestley, 1963) в Mg. П. м. наблюдается при низких темпах и сильных полях ($H \sim 10^4 - 10^5$ Э) в чистых монокристаллах мн. металлов.

П. м. приводит к изменению энергетич. спектра электрона в магн. поле, к перестройке электронных траекторий, в частности к появлению п. (или) исчезновению открытых траекторий. Эта перестройка влияет на все свойства металлов, зависящие от магн. поля. Наиб. яркие проявления — осцилляции аномально большой амплитуды ряда термодинамич. и кинетич. характеристик металла при изменении магн. поля (см. выше).

Примода пробоя магнитного. Движение электронов с энергией $\epsilon \sim \epsilon_F$ в поле $H \ll 10^5$ Э квазиклассично, т. к. в этих условиях длина волны де Бройля электрона $\lambda \sim \hbar/p_F$ значительно меньше размеров r_H классич. траектории электрона в поле H : $r_H \sim c p_F/eH$ (p_F — фермиевский квазимпульс электрона). Межзонные переходы из-за малости отношения $\kappa = \lambda/r_H = e\hbar H/cp_F$ (параметр κ в квазиклассич. смысле) могут происходить только в узких запрещенных областях импульсного пространства, где межзонный потенциальный барьер (ширина запрещенной зоны) столь мал, что орбиты разных зон подходят друг к другу на расстояние ($V \times p_F$), сравнимое с квантовой неопределенностью квазимпульса ($V \hbar H/c$) в плоскости перпендикулярной H (рис. 1). Эти области наз. центрами П. м.

Вероятность П. м. определяется ф-лой

$$W = \exp(-H_0/H), \quad (1)$$

где $H_0(\epsilon_F, p_H, H/H)$ — поле пробоя, причем $H_0 \sim \epsilon_F^2/\epsilon_{F0}$, где $\mu = e\hbar/mc$ — магнетон Бора (m — эффективная масса электрона), ϵ_{F0} — величина потенциального барьера. Наиб. часто ϵ_{F0} имеет минимум на плоскостях брагговского отражения. Это происходит во всех поливалентных металлах, у которых из них $H_0 = 10^4 - 10^5$ Э: Al, Be, Ga, Cd, Cr, Mg, Nb, Os, Re, Ru, Sn, Tl, Ta, Va, Zn и др. При $H_0 \leq 10^5$ Э П. м. обнаружен и у окислов нек-рых металлов. Малость ϵ_F может быть также следствием близости к структурным фазовым переходам с удвоением периода, встречающимся в органических квазиодномерных и квазидвумерных проводниках. Иногда малость ϵ_F обусловлена пересечением ферми-поверхности с линиями конич. точек (точек вырождения зон), на к-рой $\epsilon_F = 0$.

Динамика и спектр электронов. Для описания динамики электронов в условиях П. м. необходимо рассматривать всю сеть участков их квазиклассич. движения, связанных между собой центрами пробоя. Существуют 3 типа таких конфигураций П. м.: замкнутые конфигурации, типичные для произвольной ориентации H (рис. 2, верхний слева); одномерные периодич. конфигурации (рис. 2, верхний справа и нижний), возникающие, когда H перпендикулярно одному из векторов обратной решетки \mathbf{b} (как правило, числа квазиклассич. участков, пересекающих границы элементарной ячейки в противоположных направлениях, равны); двумерные периодич. конфигурации (рис. 3), образующиеся в нек-рых металлах (Al, Be, Mg, Zn,

Рис. 1. Траектории (1 и 2) разных энергетических зон — ветви одной гиперболы; пунктирные линии схематически отмечают область пробоя; 1, 2 и 1₁, 2₁ — участки квазиклассических траекторий, входящих в область магнитного пробоя и выходящих из неё; стрелки указывают направление классического движения электронов.

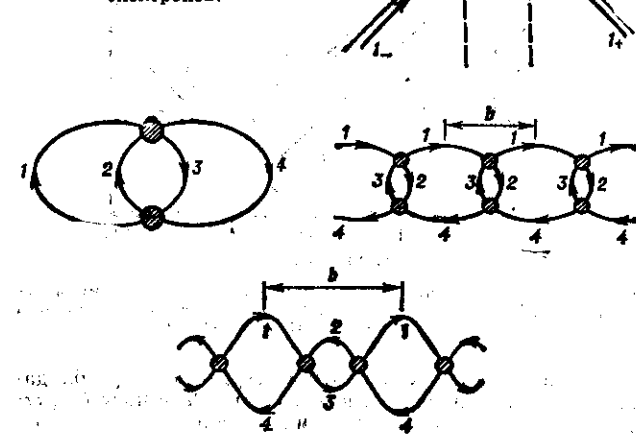
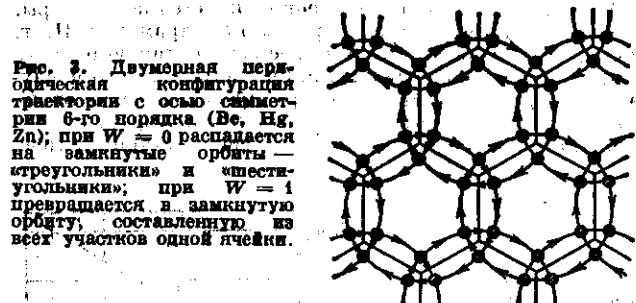


Рис. 2. Конфигурации магнитного пробоя: 1—4 — классические участки; заштрихованные круги — области магнитного пробоя; стрелки указывают направления движений; верхний слева — замкнутая конфигурация, при $W = 0$ распадается на орбиты (1, 4) и (2, 3), при $W = 1$ — на орбиты (1, 3) и (2, 4); верхний справа — одномерная конфигурация с периодом b , при $W = 0$ распадается на замкнутые орбиты (1, 4) и (2, 3), при $W = 1$ — на открытые орбиты (1, 3), (1, 3)... и (2, 4)...; нижний — одномерная конфигурация, при $W = 0$ распадается на 2 открытые орбиты (1, 1, ...), (4, 4, ...) и замкнутую (2, 2, ...); при $W = 1$ превращается в замкнутую орбиту (1, 2, 3, 4).



и т. д.) при ориентации H вдоль оси симметрии высокого порядка.

Область П. м. на плоскости $p_H = \text{const}$ может отличаться лишь в размере точки (узлом, центром). Электрон, двигаясь по классич. траектории данной зоны (напр., 1 на рис. 1), достигает центра П. м. и здесь испытывает квантовое двухканальное рассеяние, т. к. есть отличная от 0 вероятность W перехода электрона на классич. траекторию 2 др. зоны (в этом и состоит П. м.); одноврем. существует вероятность $(1-W)$ того, что электрон останется на траектории 1-й зоны. Двухканальное рассеяние описывается унитарной S -матрицей:

$$S = \begin{pmatrix} \sqrt{1-W} \exp i\Lambda & -\sqrt{W} \\ \sqrt{W} & \sqrt{1-W} \exp (-i\Lambda) \end{pmatrix}.$$

Здесь элементы s_{11}, s_{21} — амплитуды вероятности переходов электронов из одной зоны в другую ($2 \rightarrow 1$, $1 \rightarrow 2$), их квадрат s_{11}^2, s_{21}^2 равен вероятности П. м.